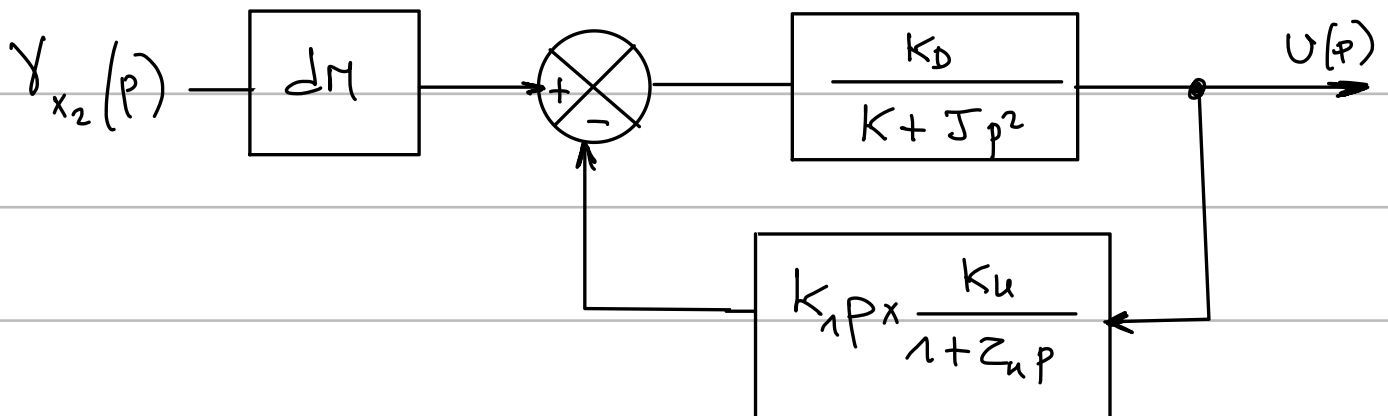


SII MP Correction du DM de Noël 2024

Q1: On redessine le schéma bloc avec $U_c(p) = 0$



En appliquant la formule de Black cela donne :

$$\frac{U(p)}{Y_{x_2}(p)} = dM_x \frac{\frac{K_D}{K + Jp^2}}{1 + \frac{K_D}{K + Jp^2} \times \frac{K_1 K_u p}{1 + z_n p}} = dM \frac{\frac{K_D(1 + z_n p)}{(K + Jp^2)(1 + z_n p) + K_1 K_u p K_D}}$$

$$\frac{U(p)}{Y_{x_2}(p)} = \frac{dM K_D (1 + z_n p)}{K + (K z_n + K_1 K_u K_D) p + J p^2 + J z_n p^3}$$

$$H_Y(p) = \frac{dM K_D}{K} \cdot \frac{1 + z_n p}{1 + (z_n + \frac{K_1 K_u K_D}{K}) p + \frac{J}{K} p^2 + \frac{J z_n}{K} p^3}$$

on a alors $K_{HF} = \frac{dM K_D}{K}$ $a_1 = z_n$ $b_1 = \left(z_n + \frac{K_1 K_u K_D}{K}\right)$
 $b_2 = \frac{J}{K}$ et $b_3 = \frac{J z_n}{K}$

Q2: Les pôles p_1, p_2 et p_3 sont à partie réelle négative $\forall \zeta_i$.
 la classe de la fonction de transfert est 0, la fonction de transfert correspond à un comportement stable.

Pour $K_1 = 0,05 \lambda$ on a une résonance ce qui ne répond pas au CdC, c'est $K_1 = 0,5 \lambda$ qui donne la bande passante à -3 dB la plus grande, même si la condition d'amplification de 10 dB jusqu'à 3 rad/s n'est pas vérifiée.

Q3 Pour $K_1 = 0,5 \lambda$ $p_1 = -1000$ $p_2 = -0,64$ $p_3 = -9,32$
 le dénominateur de $H_Y(p)$ peut se mettre sous la forme $(1 + \zeta_1 p)(1 + \zeta_2 p)(1 + \zeta_3 p)$ par analogie à un système du second ordre non oscillant. On a alors $p_1 = -\frac{1}{\zeta_1}$ $p_2 = -\frac{1}{\zeta_2}$ $p_3 = -\frac{1}{\zeta_3}$
 on rappelle que les pôles sont les valeurs de p qui annulent le dénominateur

$$H_{sf}(p) \text{ peut donc s'écrire } K_{NF} \frac{(1 + \zeta_1 p)}{(1 + \zeta_1 p)(1 + \zeta_2 p)(1 + \zeta_3 p)}$$

$$\text{avec } \zeta_1 = -\frac{1}{p_1} \quad \zeta_2 = -\frac{1}{p_2} \quad \text{et} \quad \zeta_3 = -\frac{1}{p_3}$$

la table 4 donne $\zeta_1 = 0,0018$ et $p_1 = -1000$ d'où $\zeta_1 = 0,0018$

$$\text{Alors } H_{r,s}(p) = K_{UF} \frac{(1+0,001p)}{(1+0,001p)(1+z_2p)(1+z_3p)}$$

$$\text{il reste } H_r(p) = \frac{K_0}{\kappa} \times \frac{1}{(1+z_2p)(1+z_3p)}$$

$$\text{avec } z_2 = -\frac{1}{P_2} = -\frac{1}{-0,64} = 1,56s \text{ et } z_3 = -\frac{1}{P_3} = -\frac{1}{-9,32} = 0,11$$

$$z_3 \gg z_2$$

Q4: Le gain n'est pas unitaire donc la précision n'est pas assurée, de même l'amplification à 10dB, n'est pas effective jusqu'à 3 rad/s. (à 3 rad/s on a une amplification de 100 dB)

Q5 Le correcteur intégral placé avant la perturbation, rend le système insensible à la perturbation (erreur statique nulle sous l'effet d'une accélération).

$$\underline{\text{Q6}}: H_{B_0}(p) = \frac{K_4(1+z_4p)}{p} \times \frac{K_B}{1+z_Bp} \times \frac{K_D}{\kappa(1+z_2p)(1+z_3p)}$$

on choisit z_4 tel qu'il permette de simplifier l'expression et de compenser le pôle dominant qui est ici P_2

On rappelle que le pôle dominant correspond à la constante de temps la plus grande on prendra donc $z_4 = z_2$

Q7:

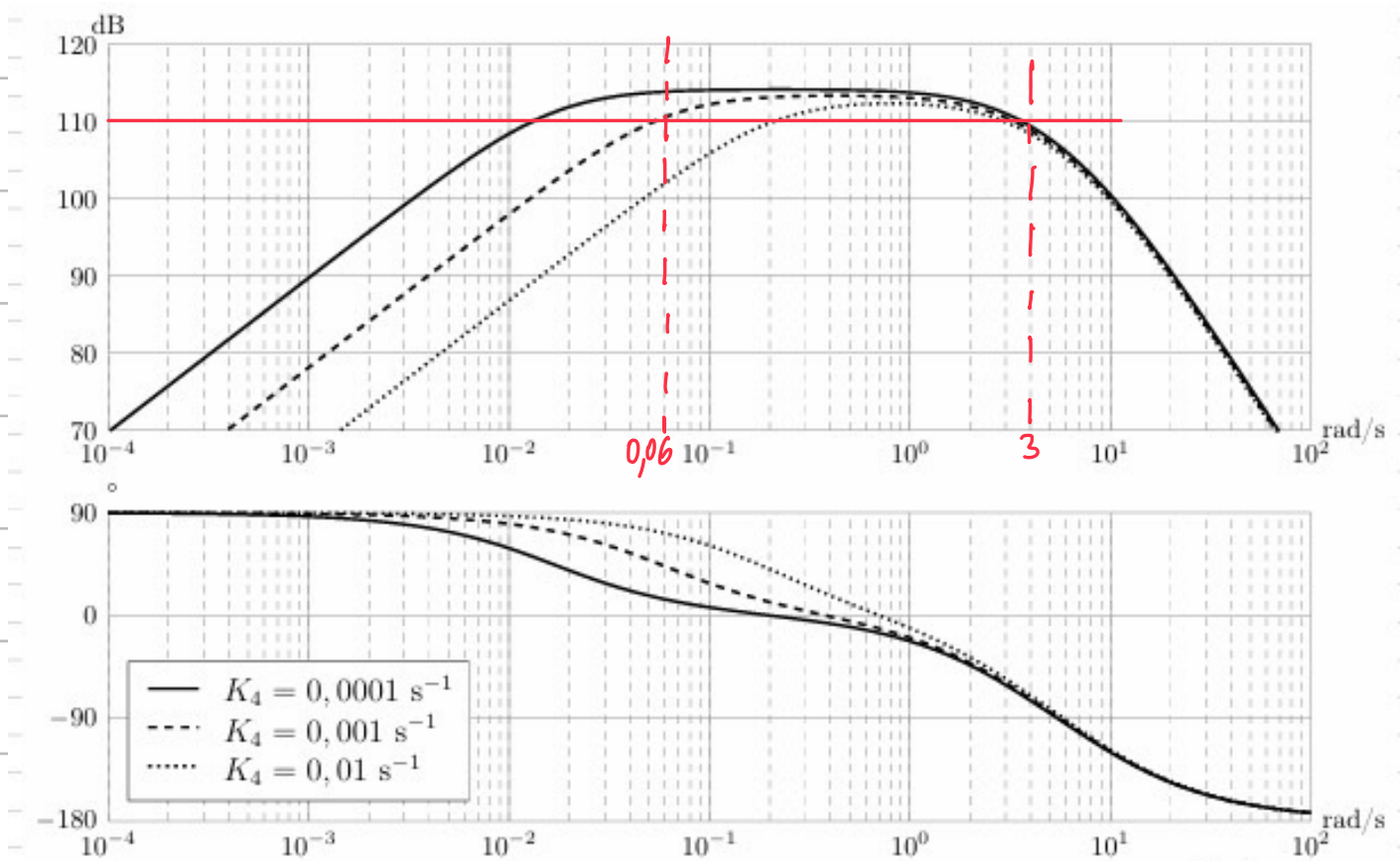
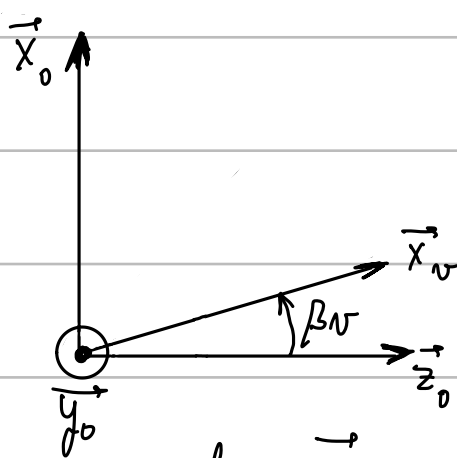
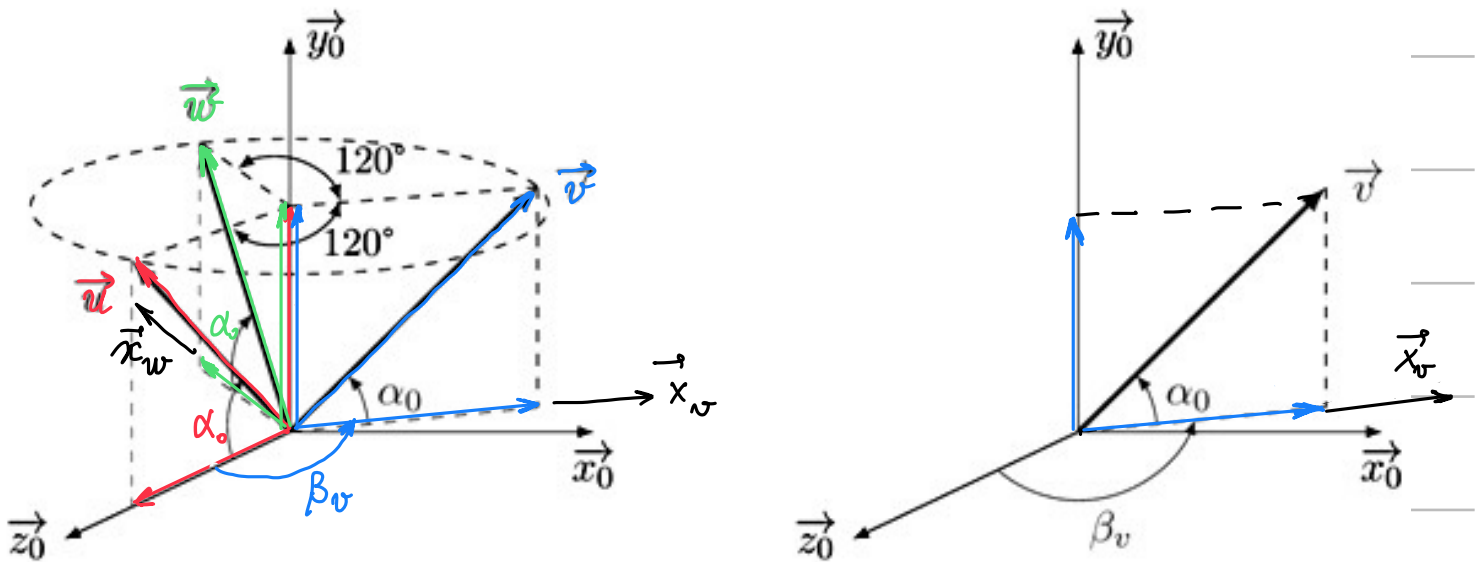


FIGURE B - Diagramme de Bode de l'asservissement en tension complet $\frac{U(p)}{\gamma_{x2}(p)}$

l'amplification de 110 dB entre 0,06 et 3 rad/s est respectée par les valeurs $K_4 = 10^{-4} \text{ s}^{-1}$ et $K_4 = 10^3 \text{ s}^{-1}$.
la limite de 120 dB est respectée par les 3 valeurs.

Q8 Il s'agit d'un filtre passe-bande qui coupe les perturbations de BF (dilation thermique par exemple) et de haute fréquence mouvements dus au vent par exemple.

Q9: La matrice P donne la relation entre les accélérations selon les directions \vec{u} , \vec{v} et \vec{w} en fonction des accélérations sur les axes \vec{x}_0 , \vec{y}_0 et \vec{z}_0



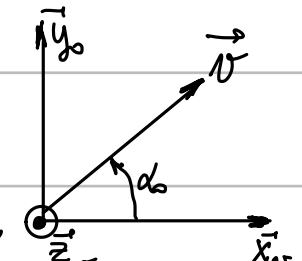
Appelons \vec{x}_v le vecteur directeur de la projection orthogonale de \vec{v} sur le plan $(\vec{x}_0; \vec{z}_0)$

$$\text{alors } \vec{x}_v = \cos \beta_v \vec{z}_0 + \sin \beta_v \vec{x}_0$$

$$\text{or } \vec{v} = \cos \alpha_0 \vec{x}_v + \sin \alpha_0 \vec{y}_0$$

$$= \cos \alpha_0 (\cos \beta_v \vec{z}_0 + \sin \beta_v \vec{x}_0) + \sin \alpha_0 \vec{y}_0$$

$$\underline{\vec{v} = \cos \alpha_0 \sin \beta_v \vec{x}_0 + \sin \alpha_0 \vec{y}_0 + \cos \alpha_0 \cos \beta_v \vec{z}_0}$$



de même il vient avec le même type de calcul :

$$\underline{\vec{u} = \cos \alpha_0 \sin \beta_u \vec{x}_0 + \sin \alpha_0 \vec{y}_0 + \cos \alpha_0 \cos \beta_u \vec{z}_0}$$

$$\underline{\vec{w} = \cos \alpha_0 \sin \beta_w \vec{x}_0 + \sin \alpha_0 \vec{y}_0 + \cos \alpha_0 \cos \beta_w \vec{z}_0}$$

d'où

$$P = \begin{pmatrix} \cos \alpha \sin \beta_u & \sin \alpha & \cos \alpha \cos \beta_u \\ \cos \alpha \sin \beta_v & \sin \alpha & \cos \alpha \cos \beta_v \\ \cos \alpha \sin \beta_w & \sin \alpha & \cos \alpha \cos \beta_w \end{pmatrix}$$

Q10: D'où l'application numérique

$$P = \begin{pmatrix} 0 & \sin \alpha_0 & \cos \alpha_0 \\ \frac{\sqrt{3}}{2} \cos \alpha_0 & \sin \alpha_0 & -\frac{1}{2} \cos \alpha_0 \\ -\frac{\sqrt{3}}{2} \cos \alpha_0 & \sin \alpha_0 & -\frac{1}{2} \cos \alpha_0 \end{pmatrix}$$

QM: On rappelle que $\begin{pmatrix} \gamma_u \\ \gamma_v \\ \gamma_w \end{pmatrix} = P \begin{pmatrix} \gamma_{u_0} \\ \gamma_{v_0} \\ \gamma_{w_0} \end{pmatrix}$

d'où $\begin{pmatrix} \gamma_x \\ \gamma_y \\ \gamma_z \end{pmatrix} = P^{-1} \begin{pmatrix} \gamma_u \\ \gamma_v \\ \gamma_w \end{pmatrix}$

alors $\begin{pmatrix} \gamma_x^* \\ \gamma_y^* \\ \gamma_z^* \end{pmatrix} = P^{-1} \begin{pmatrix} \gamma_u + \varepsilon \\ \gamma_v + \varepsilon \\ \gamma_w + \varepsilon \end{pmatrix}$

d'où $\gamma_x^* = \frac{1}{\sqrt{3} \cos \alpha_0} (\gamma_v + \varepsilon) - \frac{1}{\sqrt{3} \cos \alpha_0} (\gamma_w + \varepsilon)$

$$\gamma_y^* = \frac{1}{3 \sin \alpha_0} (\gamma_u + \varepsilon + \gamma_v + \varepsilon + \gamma_w + \varepsilon)$$

$$\gamma_z^* = \frac{1}{3 \cos \alpha_0} (2(\gamma_u + \varepsilon) - (\gamma_v + \varepsilon) - (\gamma_w + \varepsilon))$$

Il reste :

$$\gamma_{x_0}^* = \frac{1}{\sqrt{3} \cos \alpha_0} (\gamma_u - \gamma_w)$$

$$\gamma_{y_0}^* = \frac{1}{3 \sin \alpha_0} \left(\frac{\gamma_u + \gamma_v + \gamma_w + \varepsilon}{3} \right)$$

$$\gamma_{z_0}^* = \frac{1}{3 \cos \alpha_0} (2\gamma_u - \gamma_v - \gamma_w)$$

on a

$$\begin{pmatrix} \gamma_{x_0}^* \\ \gamma_{y_0}^* \\ \gamma_{z_0}^* \end{pmatrix} = P^{-1} \begin{pmatrix} \gamma_u + \varepsilon \\ \gamma_v + \varepsilon \\ \gamma_w + \varepsilon \end{pmatrix} = P^{-1} \begin{pmatrix} \gamma_u \\ \gamma_v \\ \gamma_w \end{pmatrix} + P^{-1} \begin{pmatrix} 1 \\ 1 \\ 1 \end{pmatrix} \varepsilon$$

or

$$\begin{pmatrix} \gamma_u \\ \gamma_v \\ \gamma_w \end{pmatrix} = P \begin{pmatrix} \gamma_{x_0} \\ \gamma_{y_0} \\ \gamma_{z_0} \end{pmatrix}$$

d'où

$$\begin{pmatrix} \gamma_{x_0}^* \\ \gamma_{y_0}^* \\ \gamma_{z_0}^* \end{pmatrix} = \underbrace{P^{-1} P}_{I} \begin{pmatrix} \gamma_{x_0} \\ \gamma_{y_0} \\ \gamma_{z_0} \end{pmatrix} + \varepsilon \begin{pmatrix} 0 & \frac{1}{\sqrt{3} \cos \alpha_0} & -\frac{1}{\sqrt{3} \cos \alpha_0} \\ \frac{1}{3 \sin \alpha_0} & \frac{1}{3 \sin \alpha_0} & \frac{1}{3 \sin \alpha_0} \\ \frac{2}{3 \cos \alpha_0} & -\frac{1}{3 \cos \alpha_0} & -\frac{1}{3 \cos \alpha_0} \end{pmatrix} \begin{pmatrix} 1 \\ 1 \\ 1 \end{pmatrix}$$

donc

$$\boxed{\gamma_{x_0}^* = \gamma_{x_0} \quad \gamma_{y_0}^* = \gamma_{y_0} + \frac{\varepsilon}{3 \sin \alpha_0} \quad \gamma_{z_0}^* = \gamma_{z_0}}$$

Seule la composante de l'accélération verticale est affectée

Q12: Il faudrait avoir mathématiquement $\alpha_0 = \frac{\pi}{2}$ pour minimiser l'effet du brouin sur l'accélération sur \vec{y}_0

Ce qui pratiquement n'est pas réalisable.

$$Q13: \vec{V}_{I\epsilon 2/\text{sol}} = \vec{V}_{0\epsilon 2/\text{sol}} + \vec{IO}_1 \wedge \vec{s_2}_{/\text{sol}} = \vec{V}_{0\epsilon 2/\text{sol}} + \vec{IO}_1 \left(\vec{s_{21}} + \vec{s_{10}} \right)_{/\text{sol}}$$

La condition de roulement sans glissement s'écrit :

$$\vec{V}_{I\epsilon 2/\text{sol}} = \vec{0} = \vec{V}_{0\epsilon 2/\text{sol}} + \vec{V}_{0\epsilon 1/\text{sol}} + \left(R \vec{y}_1 + \frac{L}{2} \vec{z}_1 \right) \wedge \left(\omega_{21} \vec{z}_1 + \omega_{10} \vec{y}_1 \right)$$

$$\vec{0} = V(t) \vec{x}_1 + R \omega_{21} \vec{x}_1 - \frac{L}{2} \omega_{10} \vec{x}_1$$

on a l'égalité scalaire : $V(t) = \frac{L}{2} \omega_{10} - R \omega_{21}$

Q14: Avec un raisonnement identique on a :

$$\begin{aligned} \vec{0} &= V(t) \vec{x}_1 + \left(R \vec{y}_1 - \frac{L}{2} \vec{z}_1 \right) \wedge \left(\omega_{31} \vec{z}_1 + \omega_{10} \vec{y}_1 \right) \\ &= V(t) \vec{x}_1 + R \omega_{31} \vec{x}_1 + \frac{L}{2} \omega_{10} \vec{x}_1 \end{aligned}$$

ce qui donne $V(t) = - \left(R \omega_{31} + \frac{L}{2} \omega_{10} \right)$

Q15: D'après les questions 13 et 14 on a :

$$\frac{L}{2} \omega_{10} - R \omega_{21} = - \left(R \omega_{31} + \frac{L}{2} \omega_{10} \right)$$

$$L \omega_{10} = R (\omega_{21} - \omega_{31})$$

Q16: Si la trajectoire est rectiligne alors $\omega_{10} = 0$

$$\Rightarrow 0 = R (\omega_{21} - \omega_{31}) \Rightarrow \boxed{\omega_{21} = \omega_{31}}$$

$$\text{Alors } |V(t)| = + R \omega_{31} \Rightarrow \omega_{31} = \omega_{\text{moy}} = \frac{v(t)}{R}$$

$$\text{A.N. } \omega_{\text{moy}} = \frac{2}{0,02} = \frac{1}{0,01} = \underline{\underline{100 \text{ rad/s}}}$$

Q17: On a la relation $L \dot{\omega}_{10} = R (\omega_{21} - \omega_{31})$

en la dérivant par rapport au temps on obtient

$$L \ddot{\omega}_{10} = R (\ddot{\omega}_{21} - \ddot{\omega}_{31})$$

Si $\ddot{\omega}_{31} = -\ddot{\omega}_{21}$ on a $L \ddot{\omega}_{10} = R \times 2 \times \ddot{\omega}_{21}$

d'où $\boxed{\ddot{\omega}_{10} = \frac{2R}{L} \ddot{\omega}_{21}}$

Q18: $t_1 = 0$ $\gamma_{10} = \text{constante} = \frac{\omega_{10 \text{ max}}}{t_2}$

d'où $\boxed{t_2 = \frac{\omega_{10 \text{ max}}}{\gamma_{10}}} \quad (\text{phase 1 d'accélération constante})$

de plus $-\gamma_{10} = \frac{\omega_{10 \text{ max}}}{t_3 - t_4} \quad (\text{phase 3 de décelération constante})$

d'où $t_4 - t_3 = \boxed{\frac{\omega_{10 \text{ max}}}{\gamma_{10}}} = t_2$

On sait par ailleurs d'entre t_1 et t_4 $\theta_{10} = +\frac{\pi}{2}$

$$\theta_{10} = \int_{t_1}^{t_4} \omega_{10}(t) dt = \frac{\omega_{10 \text{ max}}}{2} \times t_2 + \omega_{10 \text{ max}} (t_3 - t_2) + \frac{\omega_{10 \text{ max}}}{2} t_2$$

$$\frac{\pi}{2} = \omega_{10 \text{ max}} t_2 + \omega_{10 \text{ max}} (t_3 - t_2)$$

$$\Rightarrow t_3 = \frac{\pi}{2\omega_{10\max}}$$

Q19: Plus ω_{10} est importante et plus le rayon de courbure est petit, dans tous les cas le robot tourne bien de 90° vers la gauche.

Q20: L'ensemble S déplace verticalement à la vitesse $\dot{\vartheta}_a = \dot{y}_G$

$$\text{d'où } E_{CS} = \frac{1}{2} m_S \dot{y}_G^2$$

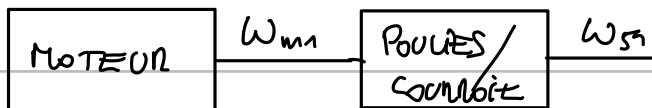
$$E_{C4} = E_{C4'} = \frac{1}{2} J_m \omega_{m1}^2$$

$$E_{C5} = E_{C5'} = \frac{1}{2} J_5 \omega_{m1}^2$$

$$E_C = E_{CS} + 2E_{C4} + 2E_{C5} = \frac{1}{2} \left(m_S \dot{y}_G^2 + 2 J_m \omega_{m1}^2 + 2 J_5 \omega_{m1}^2 \right)$$

Q21:

On a



$$\frac{\omega_{51}}{\omega_{m1}} = \frac{R_m}{R_2} \quad (\text{transmission du système poulies/courroie})$$

Si on suppose un RSG entre le pignon et la chaîne, on a

$$\dot{\vartheta}_a = -R_p \omega_{51} = -R_p \times \frac{R_m}{R_2} \omega_{m1}$$

Q22: Dans l'expression de la Q20 cela donne :

$$E_C = \frac{1}{2} \left(m_S \left(\frac{R_p R_m}{R_2} \right)^2 \omega_{m1}^2 + 2 J_m \omega_{m1}^2 + \frac{2 R_m^2}{R_2^2} J_5 \omega_{m1}^2 \right)$$

$$E_c = \frac{1}{2} \left(m_s \frac{R_p^2 R_m^2}{R_r^2} + 2 J_m + \frac{2 R_m^2 J_s}{R_r^2} \right) \omega_{m1}^2$$

$= J_{eq}$

Q23 : P_{int} : les puissances des liaisons mécanique sont nulles
(liaisons parfaites)

$$P_{moteur} + P_{frottement} \rightarrow \text{on a } C_f = -C_f'$$

$$2\omega_{m1} C_m - 2\omega_{s1} C_f' = 2\omega_{m1} \left(C_m - \frac{R_m}{R_r} C_f \right)$$

$$P_{ext} : \underbrace{P_{program/chain}}_{=0(RSG)} + P_{pesanteur}$$

$$P_{pesanteur} = \begin{Bmatrix} -m_s g \vec{y}_o \\ \vec{0} \end{Bmatrix} \otimes \begin{Bmatrix} \vec{0} \\ \vec{y}_G \vec{y}_o \end{Bmatrix} = -m_s g \vec{y}_G$$

$$\text{d'où } P_{pesanteur} = -m_s g \times -R_p \times \frac{R_m}{R_r} \omega_{m1}$$

$$\text{d'où } P_{totale} = 2\omega_{m1} \left(C_m - \frac{R_m}{R_r} C_f \right) + \frac{m_s g R_p R_m}{R_r} \omega_{m1}$$

Q24 En appliquant le théorème de l'Energie Critique
à S on obtient :

$$\frac{d}{dt} \left(\frac{1}{2} J_{eq} \omega_{m1}^2 \right) = \omega_{m1} \left(2 \left(C_m - \frac{R_m}{R_r} C_f \right) + \frac{m_s g R_p R_m}{R_r} \right)$$

$$\text{d'où } J_{eq} \cancel{\omega_{m1} \times \dot{\omega}_{m1}} = \cancel{\omega_{m1}} \left(2 \left(C_m - \frac{R_m}{R_r} C_f \right) + \frac{m_s g R_p R_m}{R_r} \right)$$

$$\text{Alors } \frac{1}{2} J_{\text{eq}} \ddot{\omega}_{m1} = \frac{m_s g R_p R_m}{2 R_2} + \frac{R_m C_f}{R_2} = C_m$$

Q25: On a $\mathcal{V}_a = -R_p \times \frac{R_m}{R_2} \omega_{m1}$ or $R_m = R_2$

dans $\mathcal{V}_a = -R_p \omega_{m1} \Rightarrow \omega_{m1} = -\frac{\mathcal{V}_a}{R_p}$

A.N. $\omega_{m1\max} = -\frac{2}{0,038} = -52,63 \text{ rad. s}^{-1}$

entre t_1 et t_2 $\ddot{\omega}_{m1} = \frac{\omega_{m1\max}}{t_2 - t_1} = -\frac{52,63}{2} = -26,3 \text{ rad. s}^{-2}$

entre t_1 et t_2 $\dot{\omega}_{m1} = 0$ (vitesse constante)

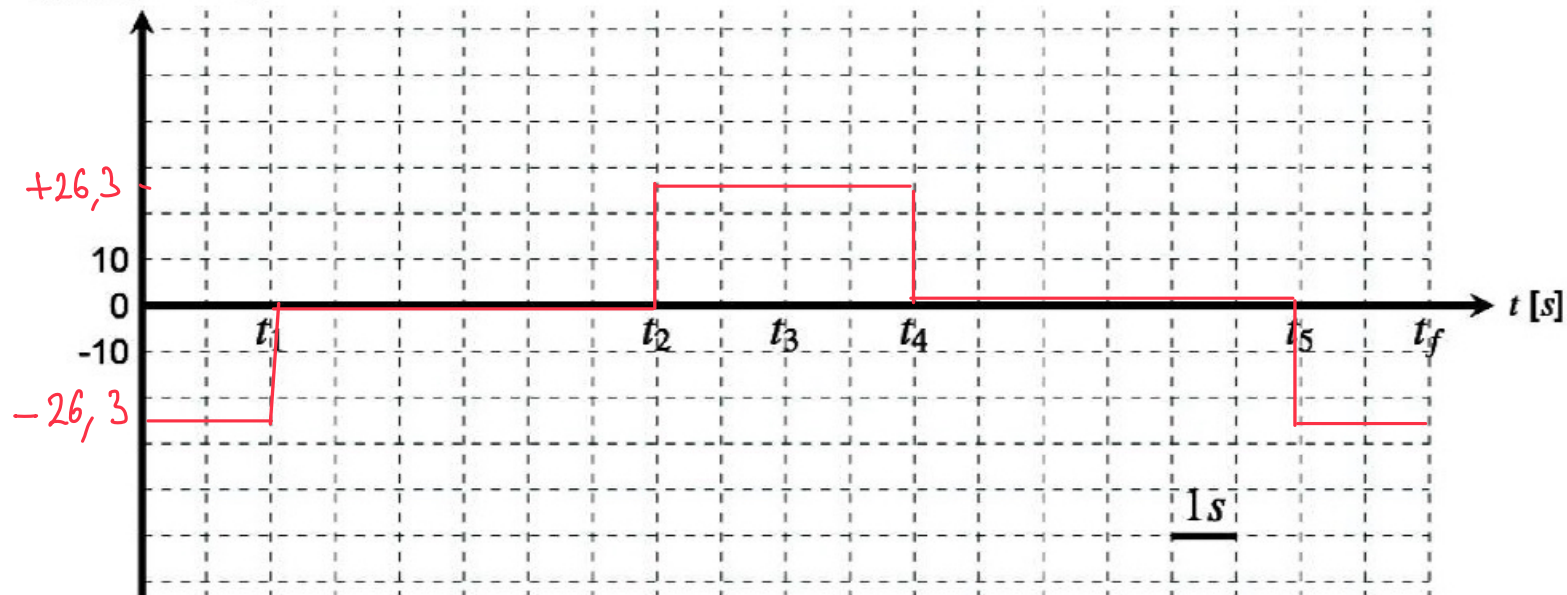
entre t_2 et t_3 $\dot{\omega}_{m1} = +26,3 \text{ rad. s}^{-2}$

entre t_3 et t_4 $\dot{\omega}_{m1} = +26,3 \text{ rad. s}^{-2}$

entre t_4 et t_5 $\dot{\omega}_{m1} = 0$

entre t_5 et t_6 $\dot{\omega}_{m1} = -26,3 \text{ rad. s}^{-2}$

$\dot{\omega}_{m1}(t) [\text{rad} \cdot \text{s}^{-2}]$



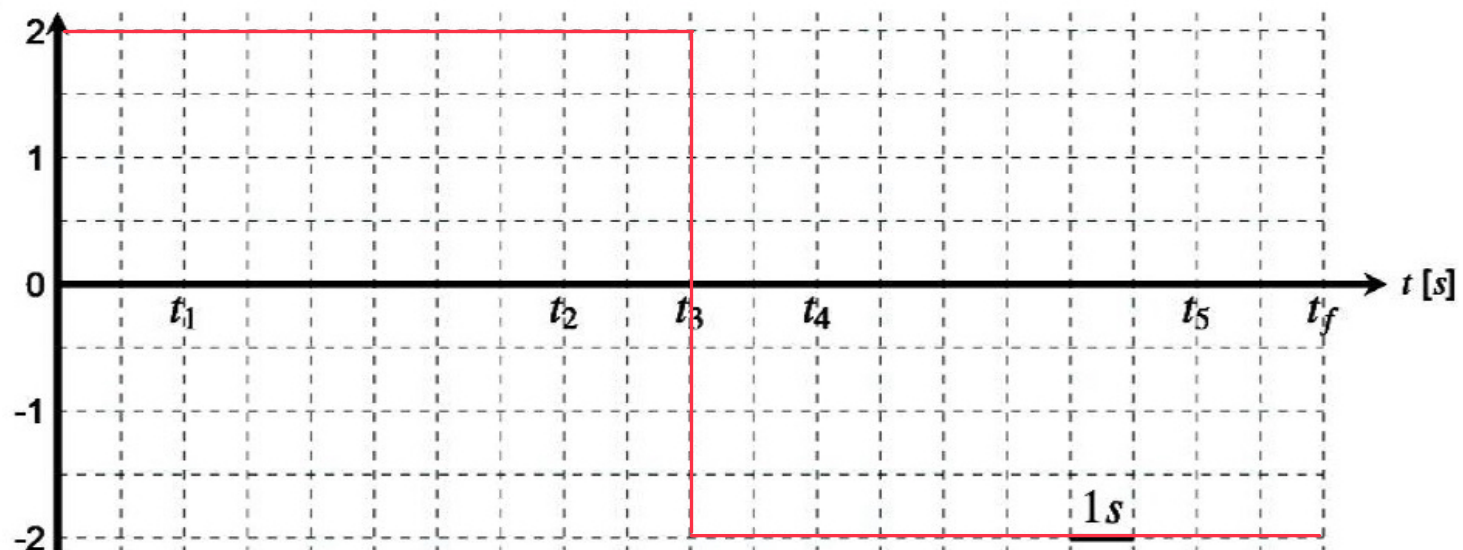
Q26: C_f est opposé au sens de rotation du moteur

Comme $\omega_{m_1} = -V_a \times \frac{R_r}{R_m R_p}$

en montée $V_a > 0$ donc $\omega_{m_1} < 0$ alors $C_f > 0$

en descente $V_a < 0$ donc $\omega_{m_1} > 0$ alors $C_f < 0$

$C_f(t) [N \cdot m]$



Q27: Le moteur développe la puissance maxi male à l'instant t_1 en montée alors

$$\omega_{m_1} = -V_a \times \frac{R_r}{R_m R_p} \quad \text{et} \quad C_m = -17 \text{ N.m}$$

$$P_{\max} = -V_a \times \frac{R_r}{R_m R_p} \times 17$$

A.N. $P_{\max} = +2 \times \frac{1}{0,038} \times 17 = 895 \text{ W}$

$895 \text{ W} < 1000 \text{ W}$ le moteur est bien dimensionné